

**Федеральный исследовательский центр комплексного изучения
Арктики им. Н.П. Лаврова УрО РАН, г. Архангельск**

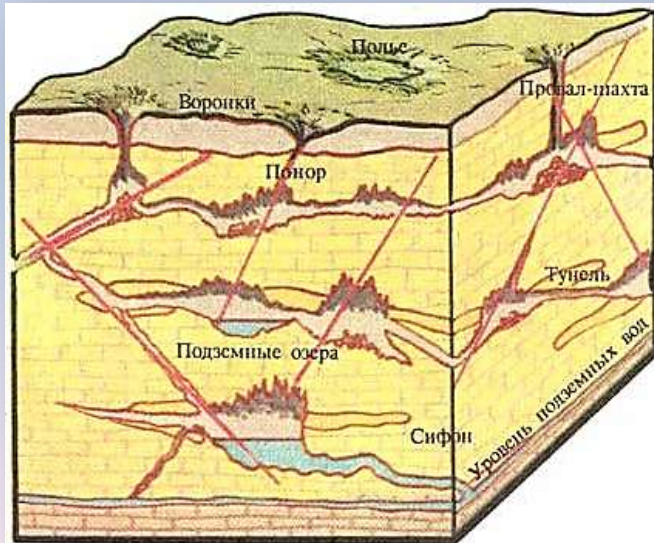


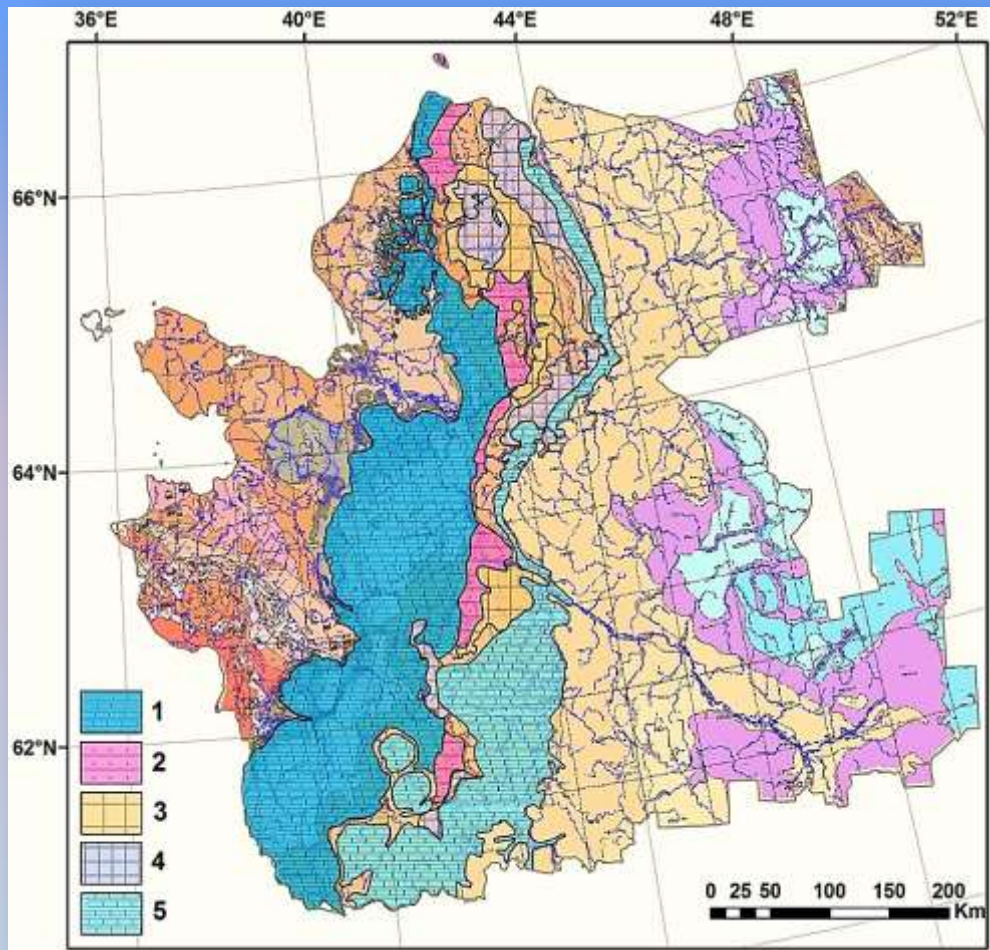
Геоморфометрический анализ рельефа в изучении карстового процесса

Полякова Е.В., Кутинов Ю.Г., Минеев А.Л., Чистова З.Б.

Москва, ИКИ РАН, 13-17 ноября 2023 г.

Карст – совокупность процессов и явлений, связанных с деятельностью воды и выражающихся в растворении горных пород и образовании в них пустот, а также своеобразных форм рельефа, возникающих на местностях, сложенных сравнительно легко растворимыми в воде горными породами (гипсами, известняками, мраморами, доломитами и каменной солью).





**Распространение карстующихся пород на территории
Архангельской области:**

1 – карбонатные породы среднего и верхнего карбона и ассельского яруса нижней перми; 2 – сульфатно-карбонатные породы сакмарского яруса нижней перми; 3 – терригенно-сульфатные породы уфимского яруса верхней перми; 4 – карбонатно-терригенные породы нижнеказанского яруса верхней перми; 5 – карбонатные породы верхнеказанского яруса верхней перми

Растворимыми породами на территории области являются: известняки и доломиты каменноугольного и пермского возраста, гипсы и ангидриты пермского возраста.

Протяженность полосы около 600 км, ширина – 100-200 км.

Суммарная площадь карстующихся пород 100,1 тыс. км², что составляет 32,4 % от материковой площади Архангельской области (Shavrina, et al., 2005).

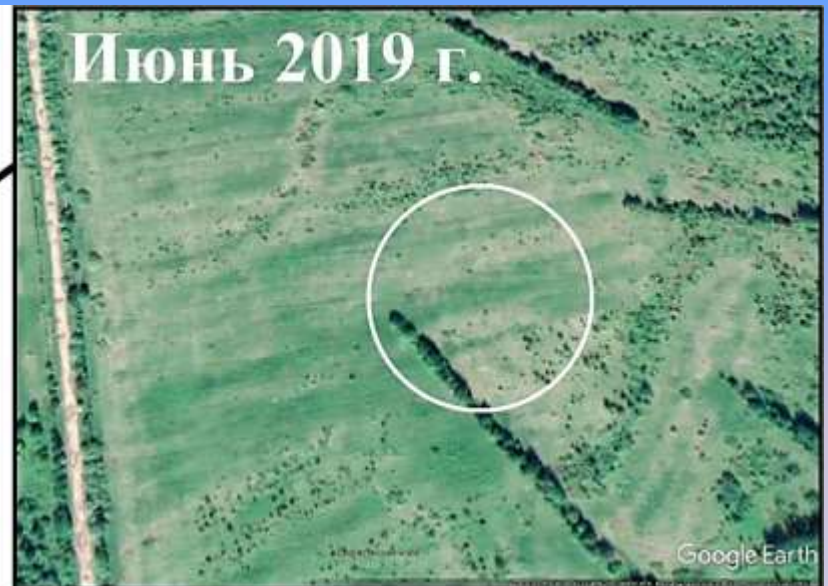


Спрогнозировать вероятность активизации карстового процесса весьма затруднительно, поскольку на начальных этапах процесс протекает под землей и только позднее проявляется на дневной поверхности. Тем не менее, проявления экзогенной геодинамики, наблюдаемые на территории Архангельской области и сопутствующие развитию карстового процесса, служат индикаторами современной активности карста.

В сентябре 2020 года в Виноградовском районе Архангельской области, в километре от деревень Скобели и Задориха, образовалась карстовая воронка диаметром 13 и глубиной 24 м



Карстовая воронка в Виноградовском районе Архангельской области
(фото с сайта <https://29.ru/text/incidents/69488615/>)



Местоположение воронки на космоснимке с сервиса Google Earth до ее образования и на сегодняшний день

За неделю до этого события жители деревни Кузомень Холмогорского района Архангельской области отмечали появления ям диаметром 1-2 и глубиной 2-3 м прямо на их участках, за огородами напротив деревни, рядом с тропинками, по которым ходят люди и скот (URL:<https://29.ru/text/incidents/69480887/>). Небольшие ямы жители Кузомени засыпают сами, но с глубокими уже не справляются .



Карстовая воронка в Холмогорском районе
(фото с сайта <https://29.ru/text/incidents/69480887/>)

29 июня 2023 г. на 987 километре федеральной автодороги М-8 , в районе деревни Уйта Виноградовского округа, произошел карстовый провал. Движение было ограничено для всех видов транспорта.



Карстовая воронка на федеральной трассе М-8
(фото с сайта <https://region29.ru/2023/06/30/649e688eae980a2bd917d982.html>)



Пример карстовой воронки со сменой хвойной растительности на лиственную и кустарниковую



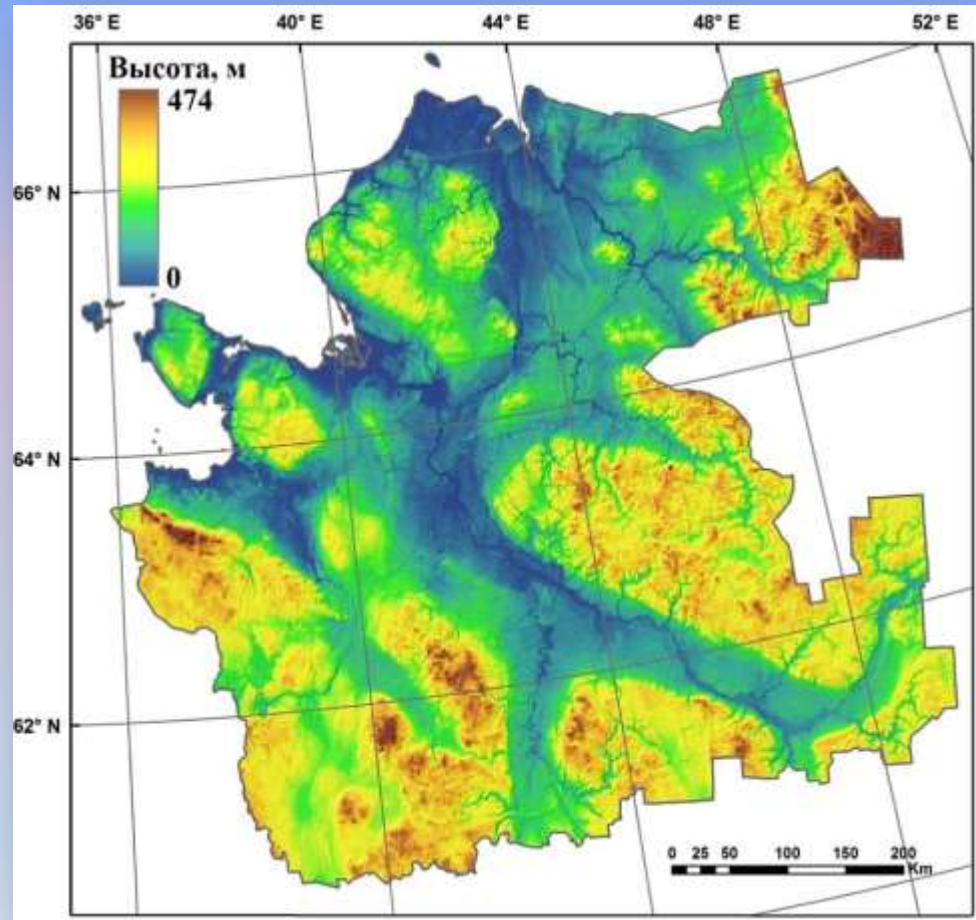
Пример карстовой воронки со сменой кустарничковой растительности на травянистую (понижение выполнено хвощем лесным)



Пример небольшого карстового понижения
(смена кустарничковой растительности на моховую)

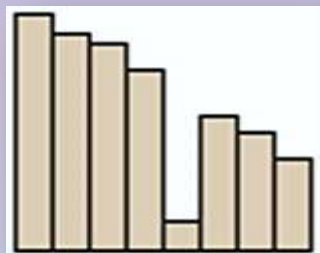
В этой связи изучение, мониторинг и, главное, предсказание вероятности активизации карстового процесса является важной и актуальной современной задачей. Вместе с тем, труднодоступность северных территорий страны из-за отсутствия дорог и развитой инфраструктуры создают большие сложности при изучении карстовых процессов обычными натурными способами.

Малоэффективность аэро- и космосъемки обусловлена наличием лесного покрова. Цифровое моделирование рельефа, как один из продуктов космической деятельности, в данном случае дает возможность проведения объективной дистанционной оценки обширных территорий одновременно, используя геоморфометрический аппарат и логические процедуры.

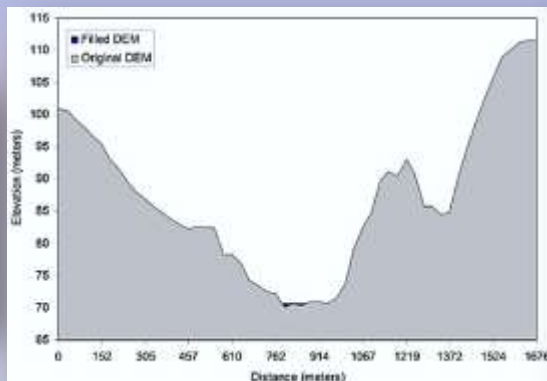


ЦМР Архангельской области

Впадина («приемник», «локальное понижение») – локальный минимум, не имеющий стока вниз по склону ни к одной из смежных ячеек цифровой модели.



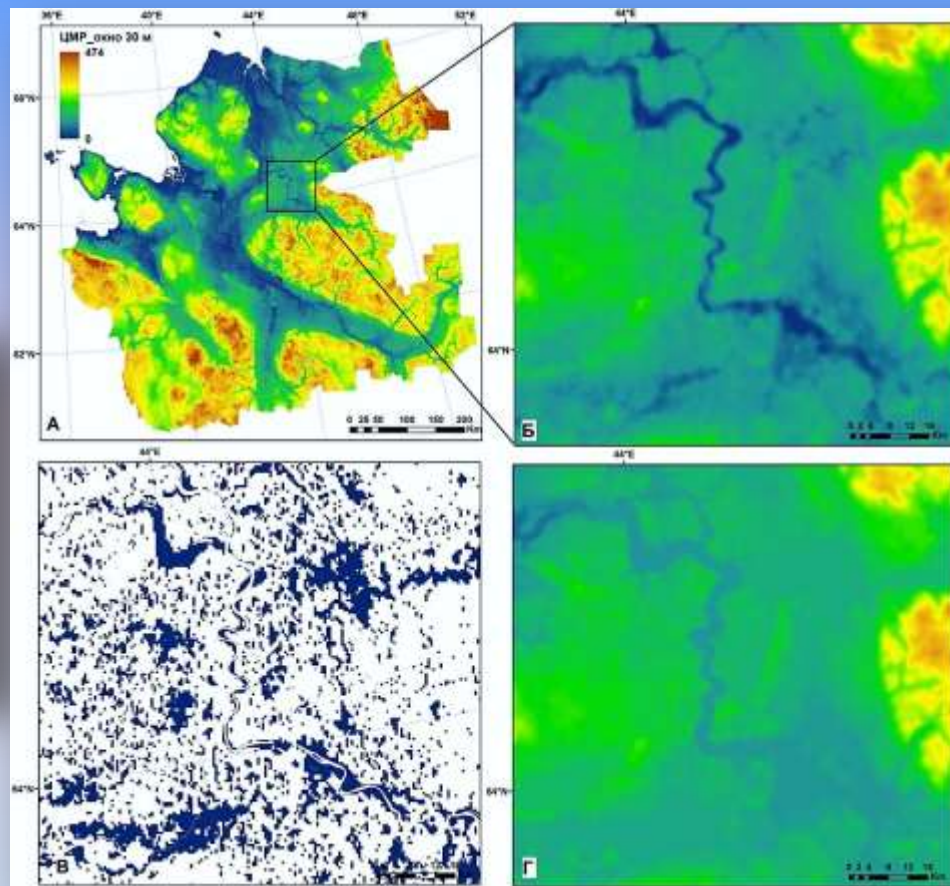
Профиль локального понижения



Профиль высот с заполненными впадинами, по (Zandbergen, 2006)

Ложные впадины – это недостатки цифровой модели, их наличие обусловлено ошибками входных данных, ошибками интерполяции в процессе генерации цифровой модели, округления интерполированных значений, усреднения значений высоты (Wang et al., 2006).

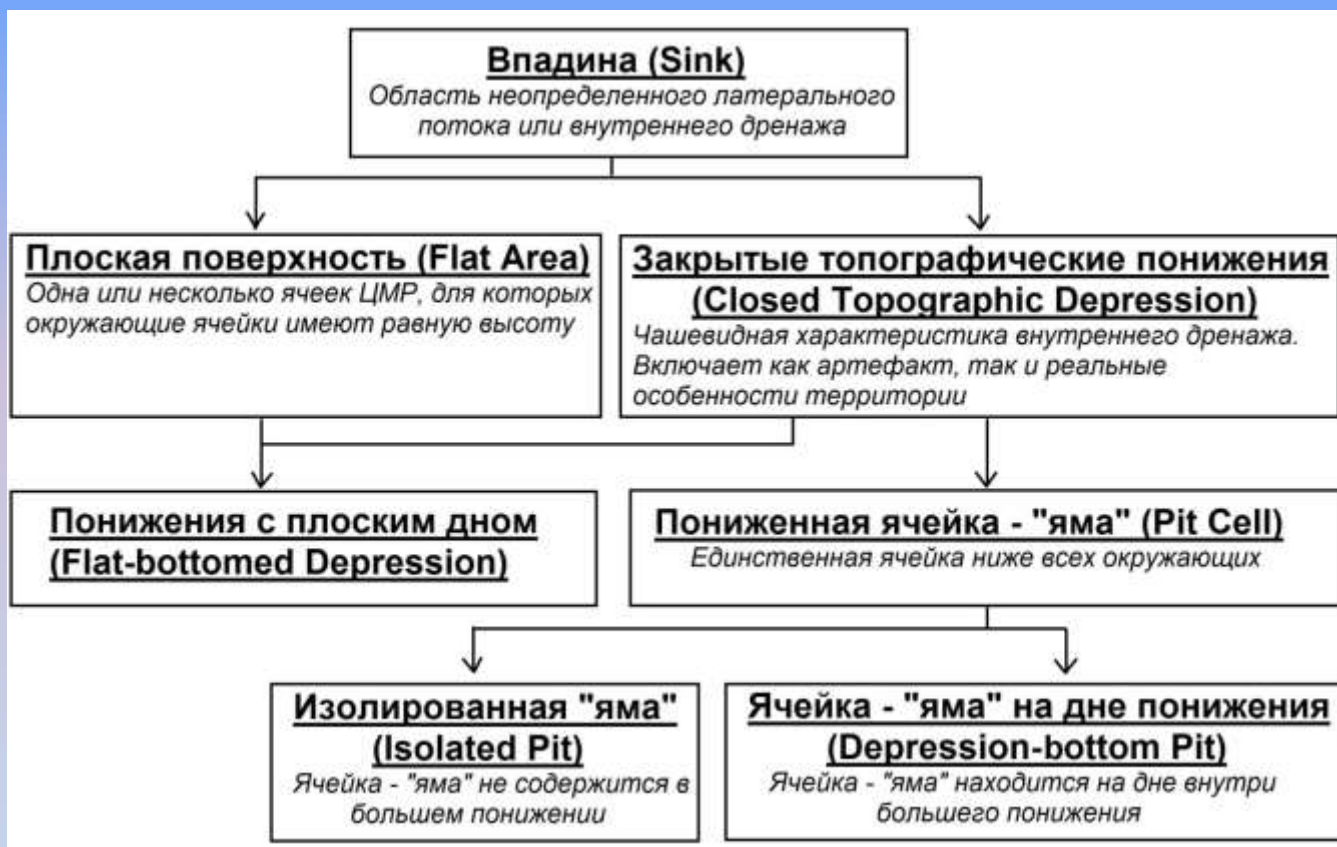
Обнаружение и удаление впадин – важный этап подготовки ЦМР для дальнейшего гидрологического моделирования и анализа.



Пример работы метода (Wang, Liu, 2006) на реальной поверхности:

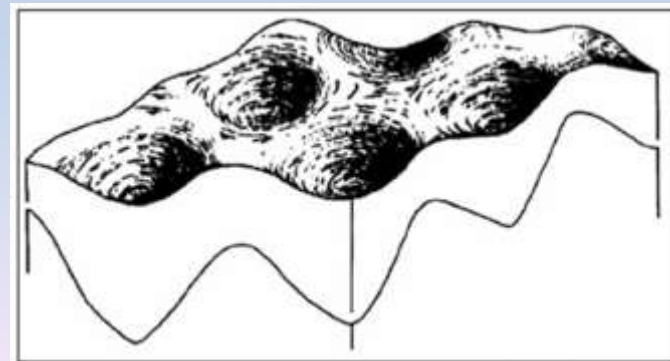
- А) исходная ЦМР Архангельской области,**
- Б) рельеф с впадинами,**
- В) маска впадин,**
- Г) рельеф с заполненными впадинами**

Топология впадин на ЦМР, по (Lindsay, 2016)



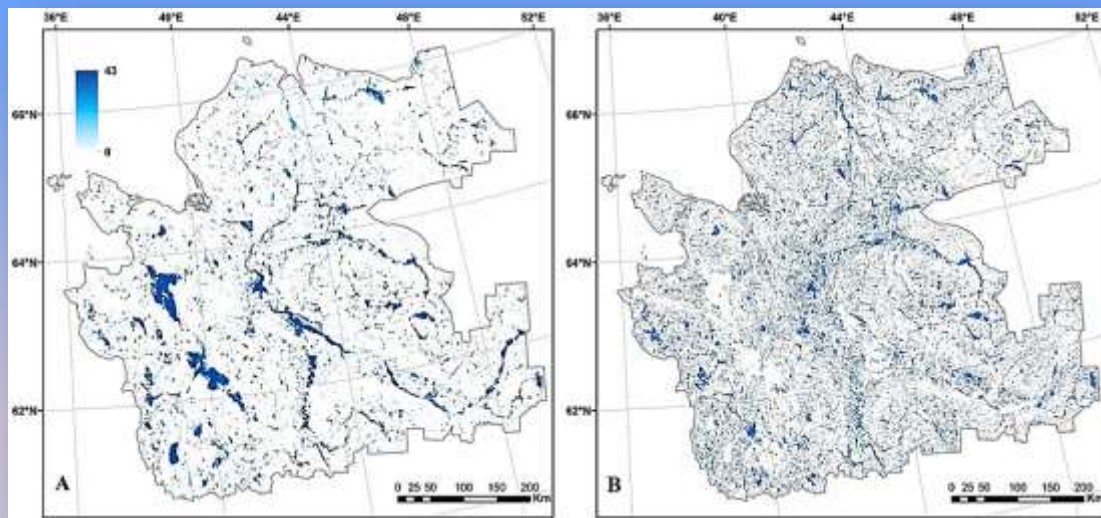
Автор (Lindsay, 2016) отмечает, что в категории «закрытые топографические понижения» следует выделять естественные элементы рельефа.

По сути, топографическая поверхность воронок – это поверхность бессточных впадин. Поэтому вполне корректно использовать методы гидрологической коррекции ЦМР для обнаружения локальных карстовых понижений и воронок.



Топографическая поверхность карстовых воронок, по (Климчук и др., 2009)

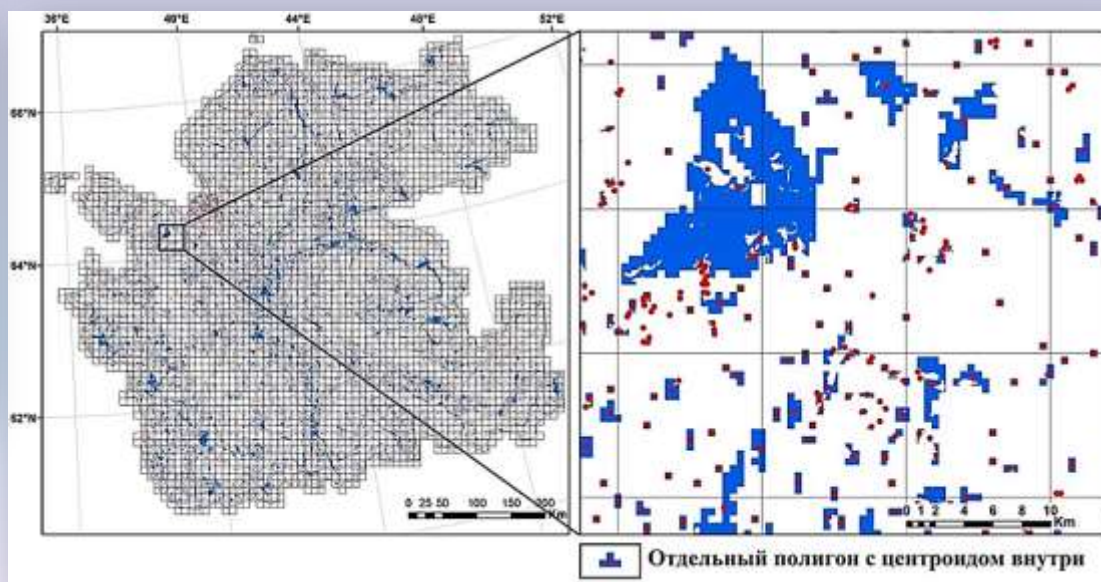
Для заполнения впадин в ЦМР Архангельской области была проведена ее гидрологическая коррекция методом Wang/Liu (наибольшая вычислительная эффективность). Получен растр с заполненными впадинами, из которого вычитался исходный растр. В результате получен растр маски глубины заполнения впадин. Далее, с использованием модуля SAGA GIS Vectorising Grid Classes, маска впадин переведена в векторный формат, из нее вычтены крупные водоемы, речные разливы для отсеечения заведомо известных водных накопителей.



Глубина заполнения впадин, м (А) и векторизованная маска впадин с удалением крупных водоемов (Б)

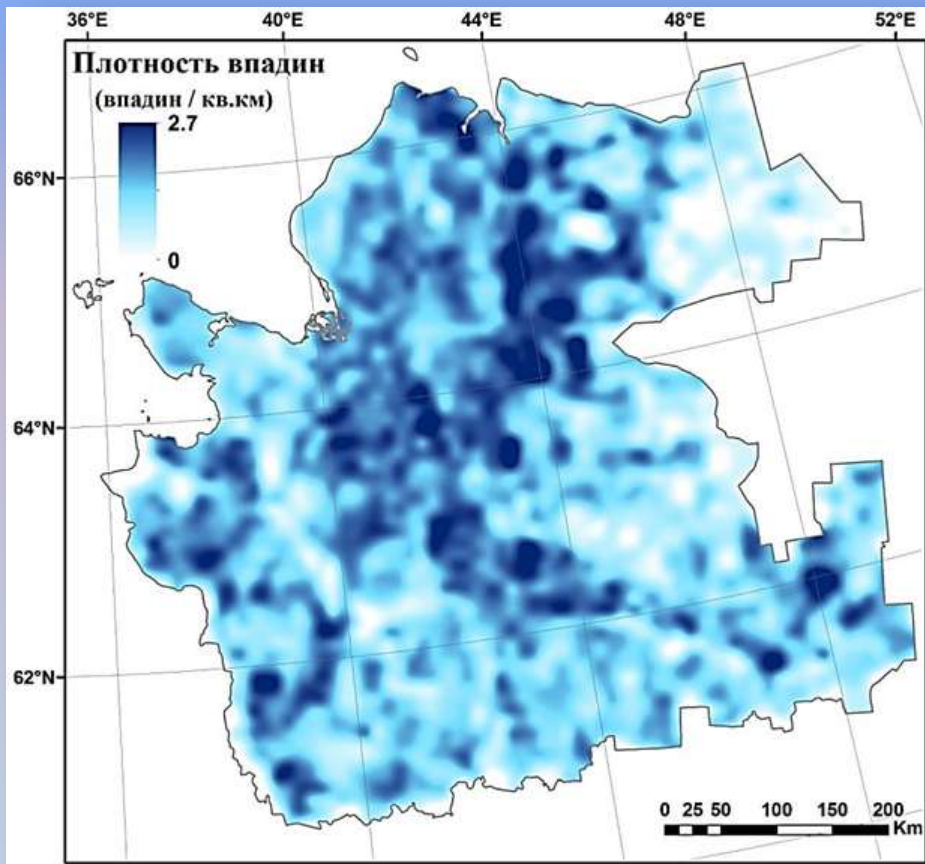


Центриод — это центральная точка каждого отдельного полигона. Чтобы подсчитать количество точечных объектов, вся исследуемая территория разбивалась на квадраты 10×10 км.



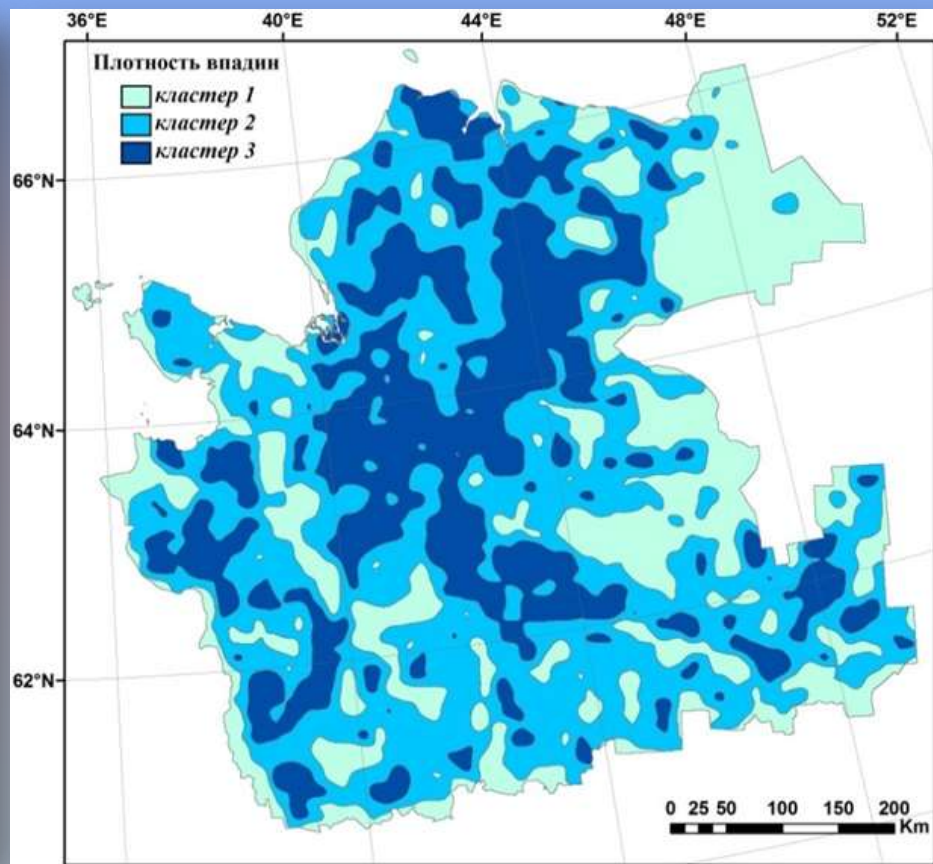
Разбивка территории на квадраты 10×10 км и построение центриодов

Значения интерполировались.



Карта плотности бессточных впадин на единицу площади

(получена интерполяцией с применением модуля *Resampling*
методом *B-spline* в *SAGA GIS*)



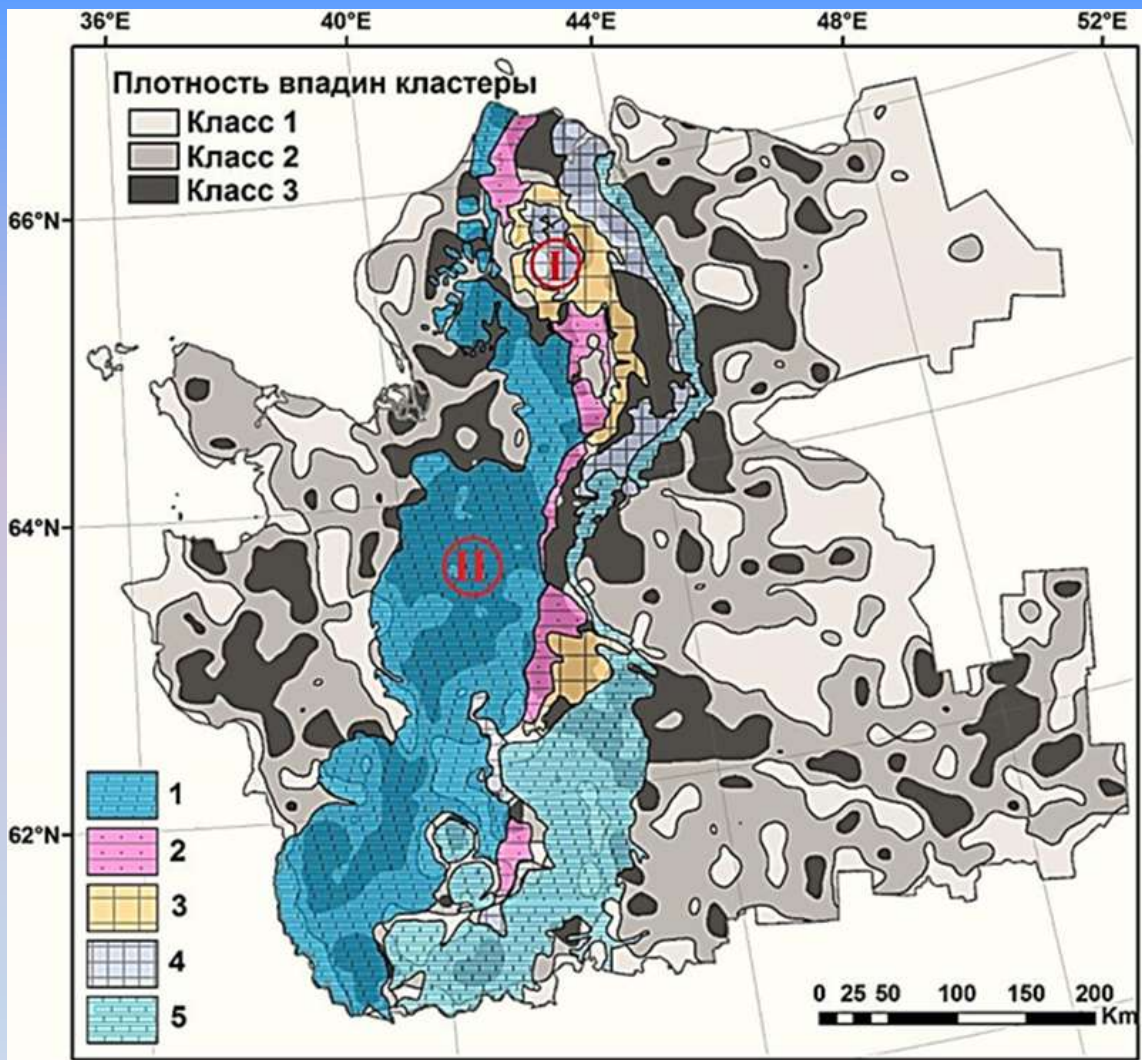
Результат кластерный анализа плотности бессточных впадин

1 – минимальные

2 – средние

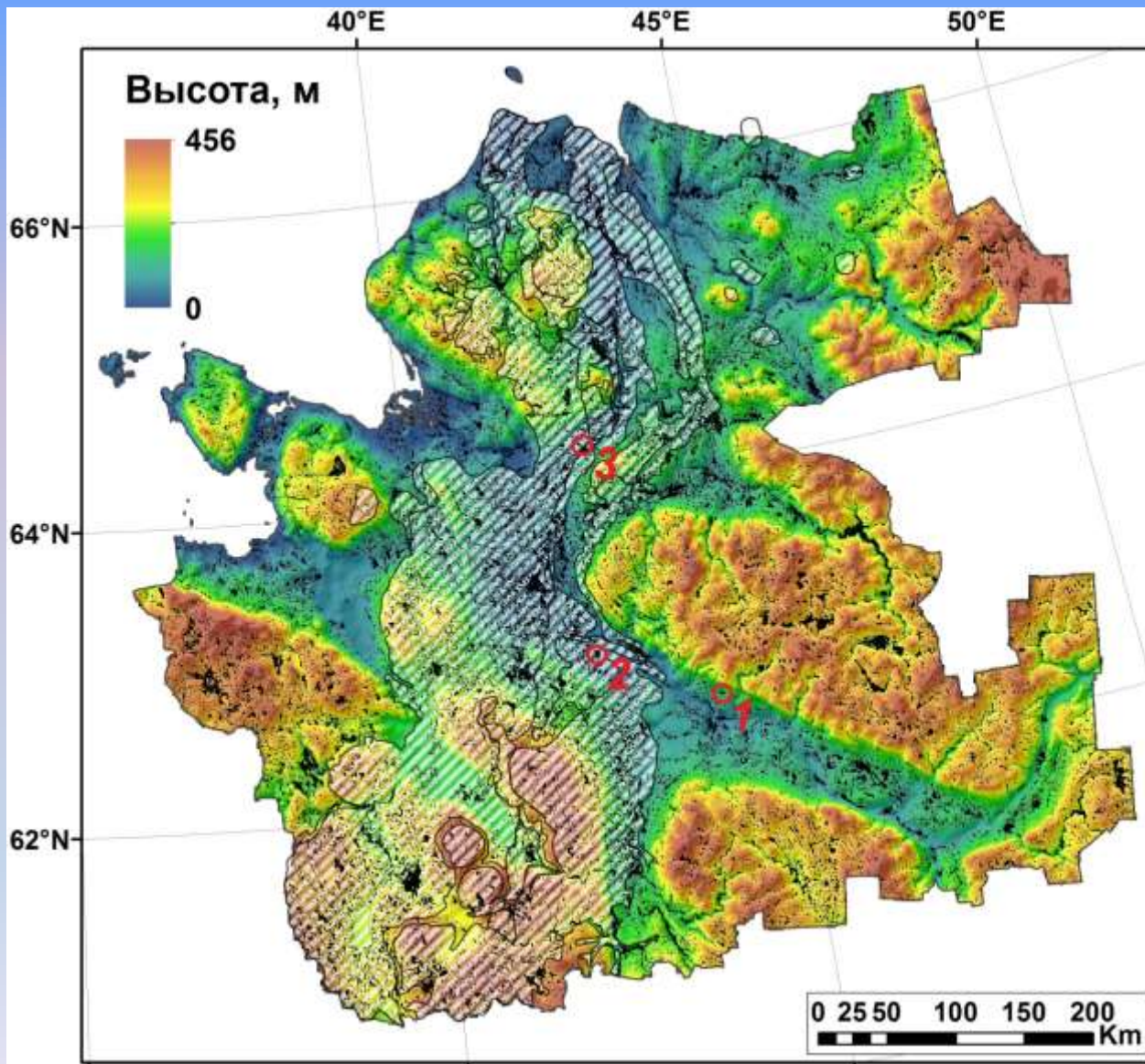
3 – максимальные значения

Вывод:
Метод обнаружения бессточных впадин, используемый при гидрологической коррекции ЦМР с целью устранения ошибок, может быть применен для выделения зон вероятной активизации карстового процесса.



1 – карбонатные породы среднего и верхнего карбона и ассельского яруса нижней перми; 2 – сульфатно-карбонатные породы сакмарского яруса нижней перми; 3 – терригенно-сульфатные породы уфимского яруса верхней перми; 4 – карбонатно-терригенные породы нижнеказанского яруса верхней перми; 5 – карбонатные породы верхнеказанского яруса верхней перми

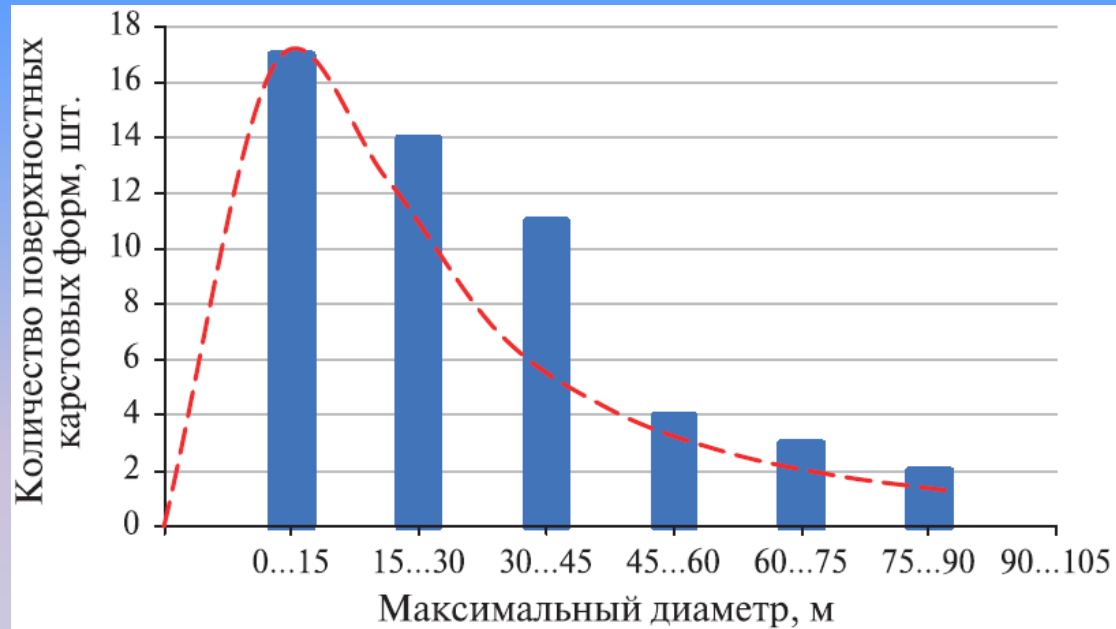
Кластерные значения плотности бессточных впадин и распространение карстующихся пород на территории Архангельской области



1 – карстовая воронка у дер. Скобели и Задориха (2020 г.)

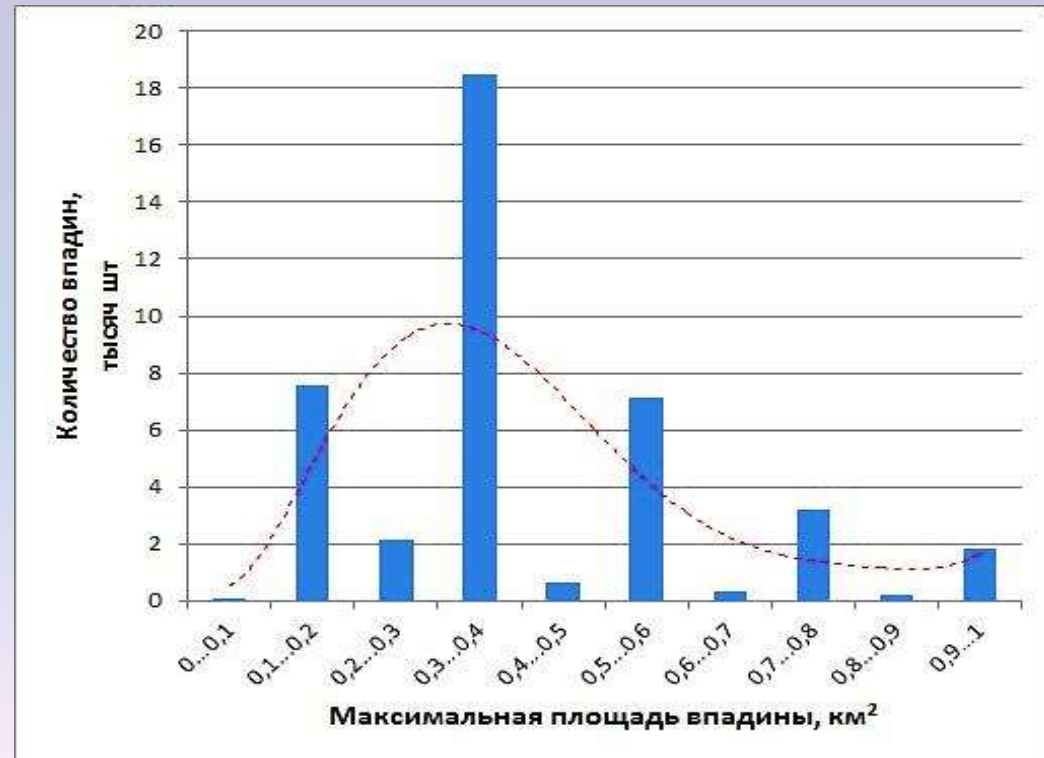
2 – карстовая воронка на трассе М-8 (2023 г.)

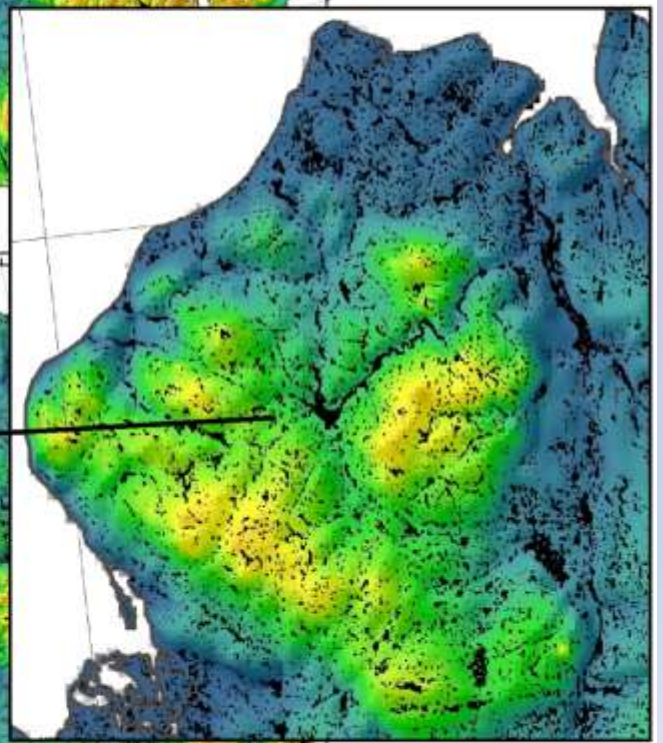
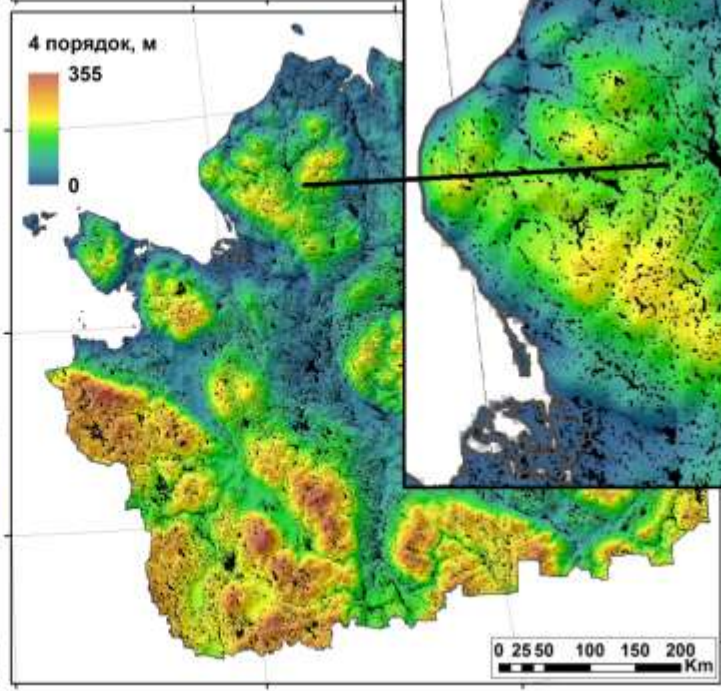
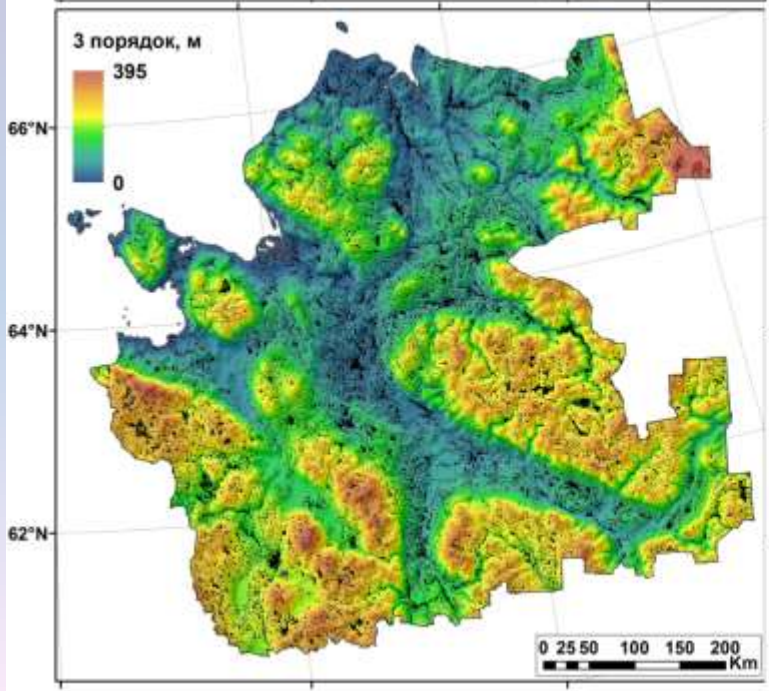
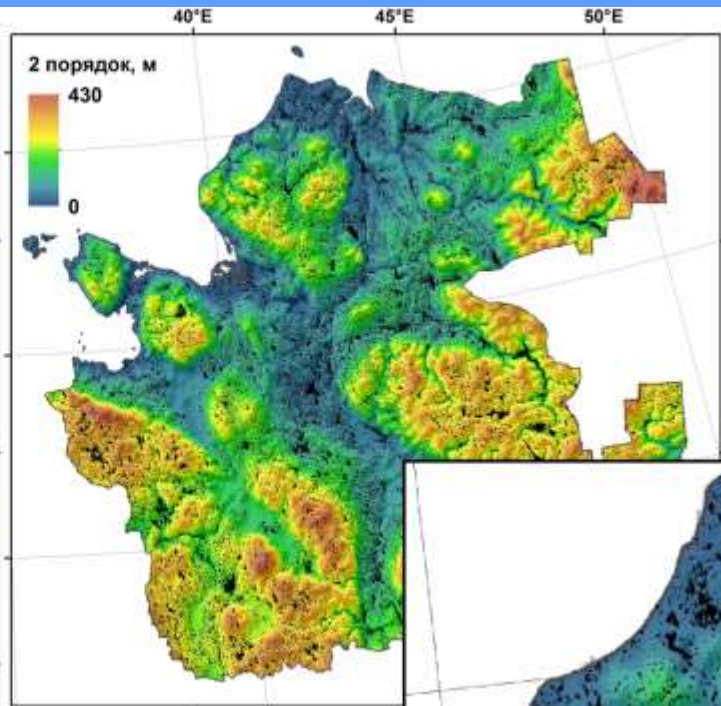
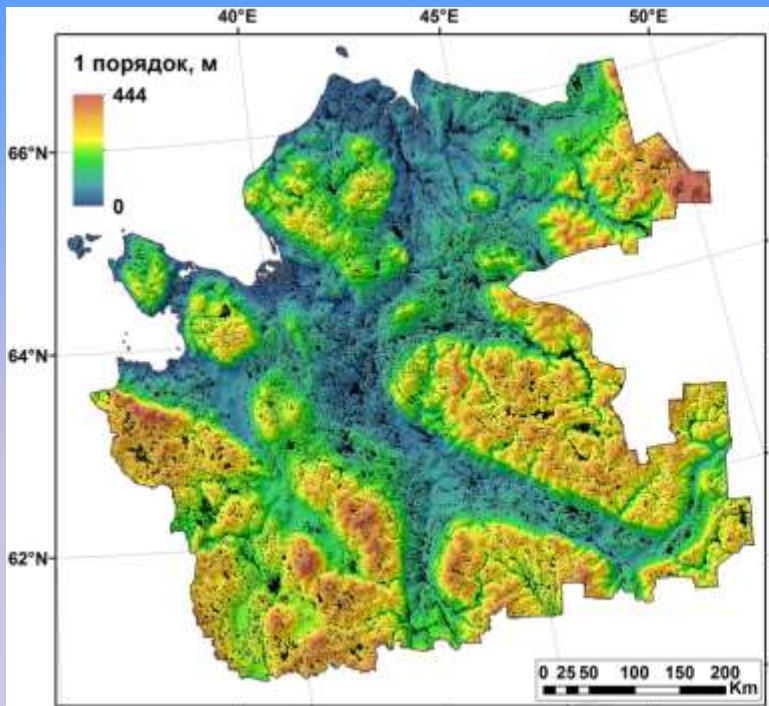
3 – карстовые воронки в дер. Кузомень (2020 г.)



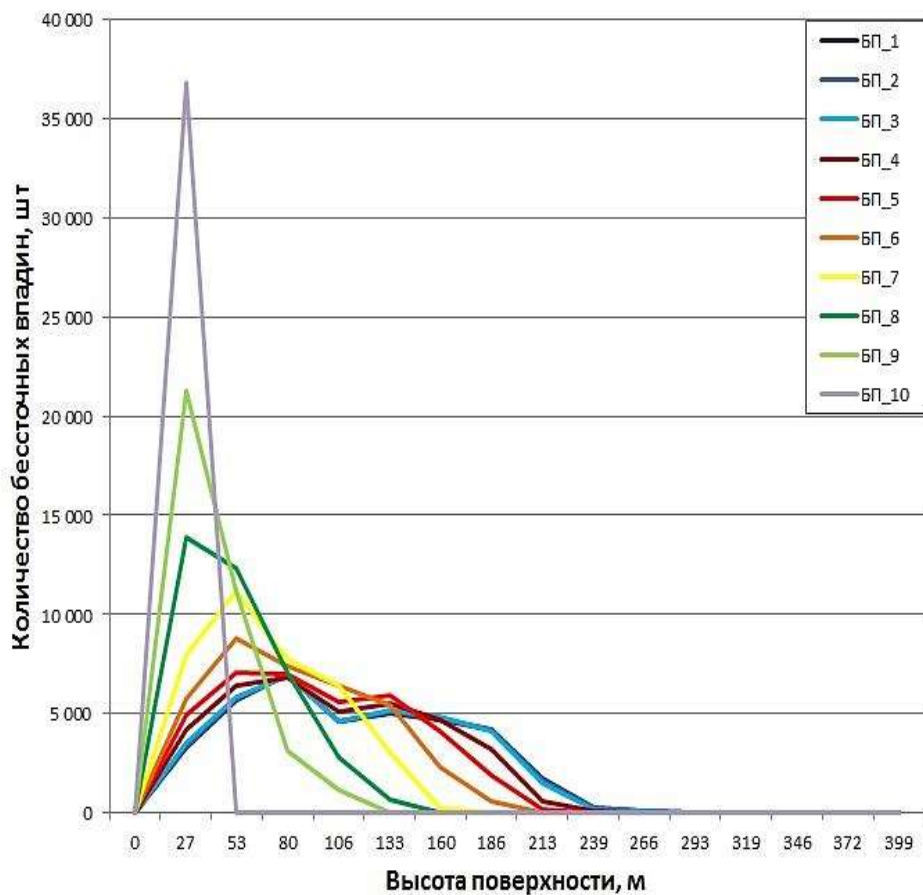
Распределение поверхностных карстовых форм по диаметрам, по (Дробинина, 2023)

Распределение бессточных впадин по их максимальным площадям

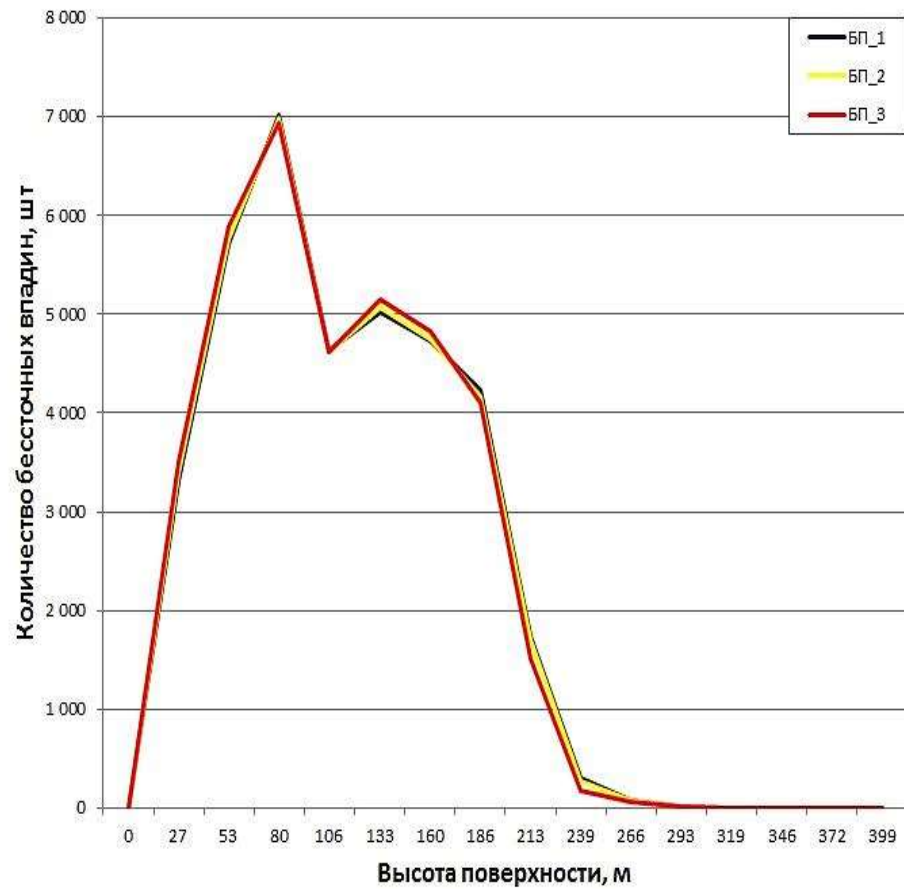


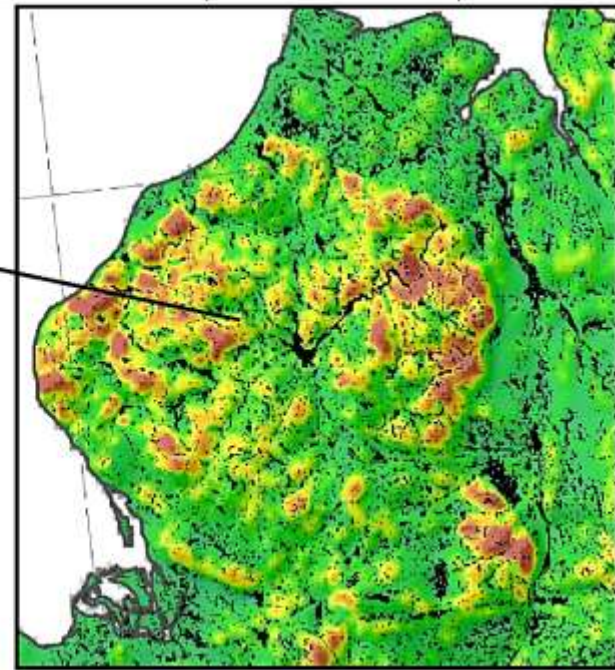
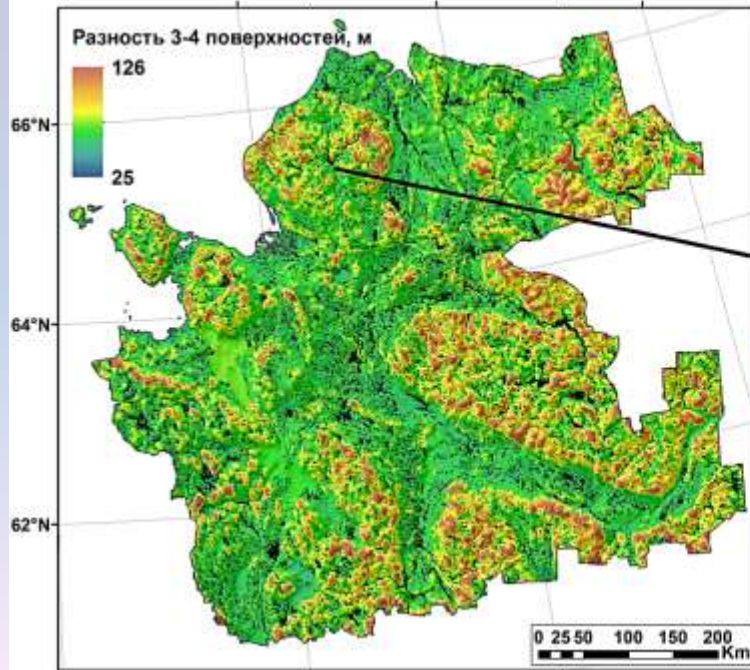
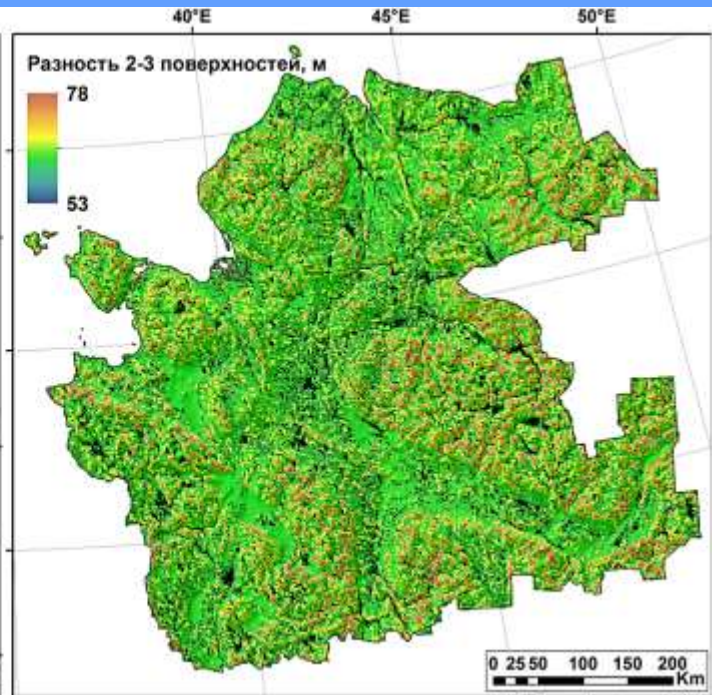
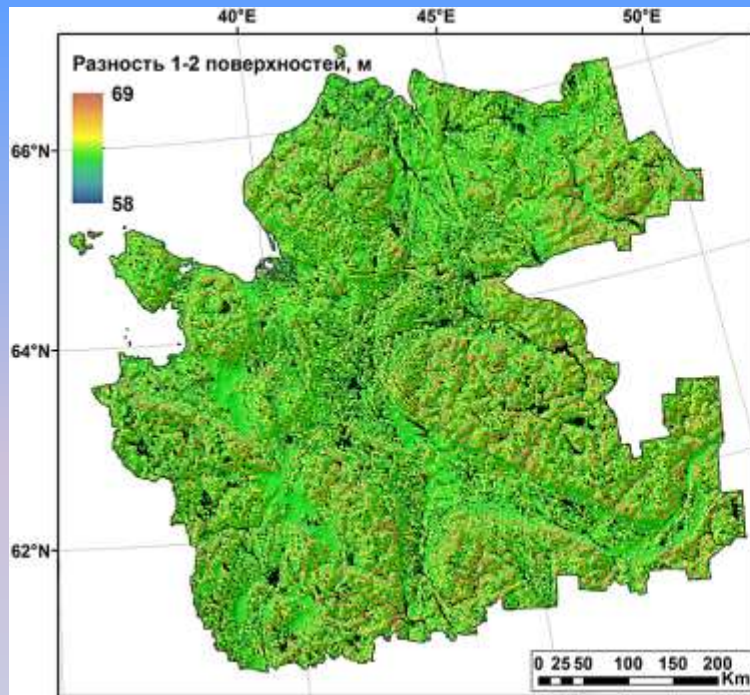


Количество бессточных впадин от высоты базисных поверхностей

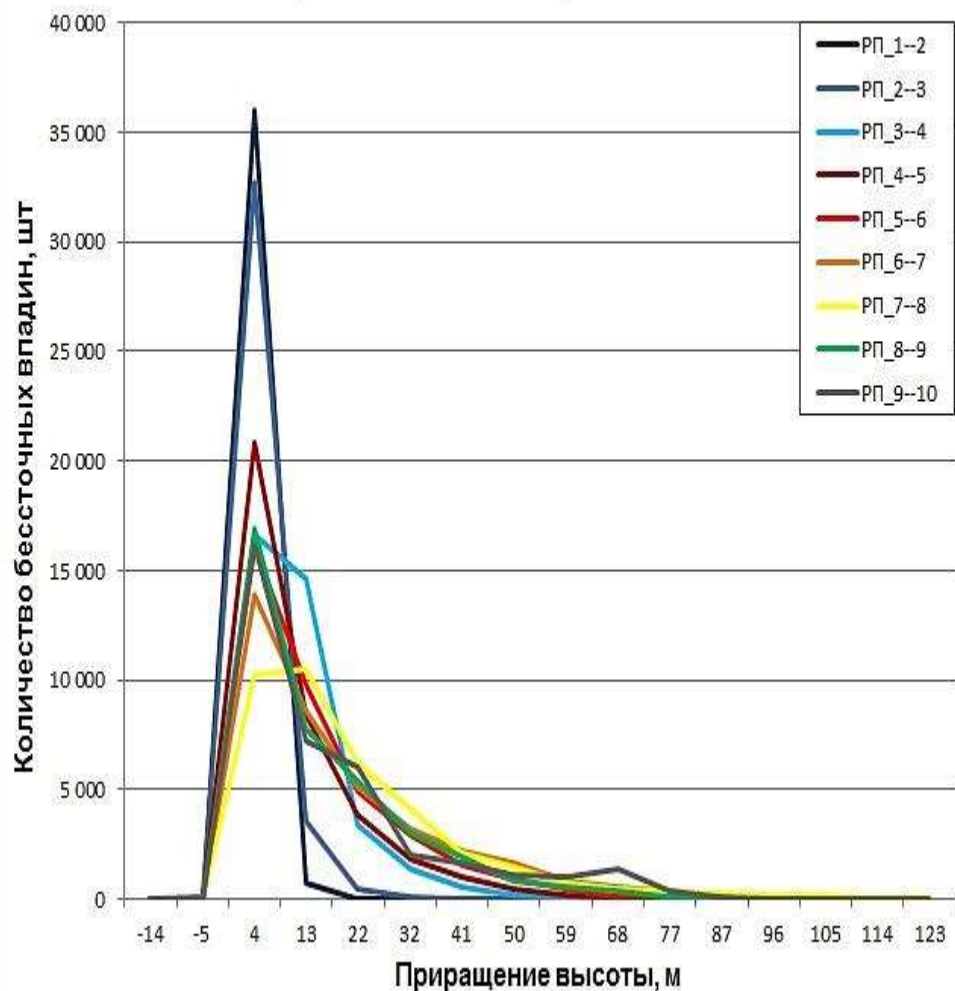


Количество бессточных впадин от высоты базисных поверхностей

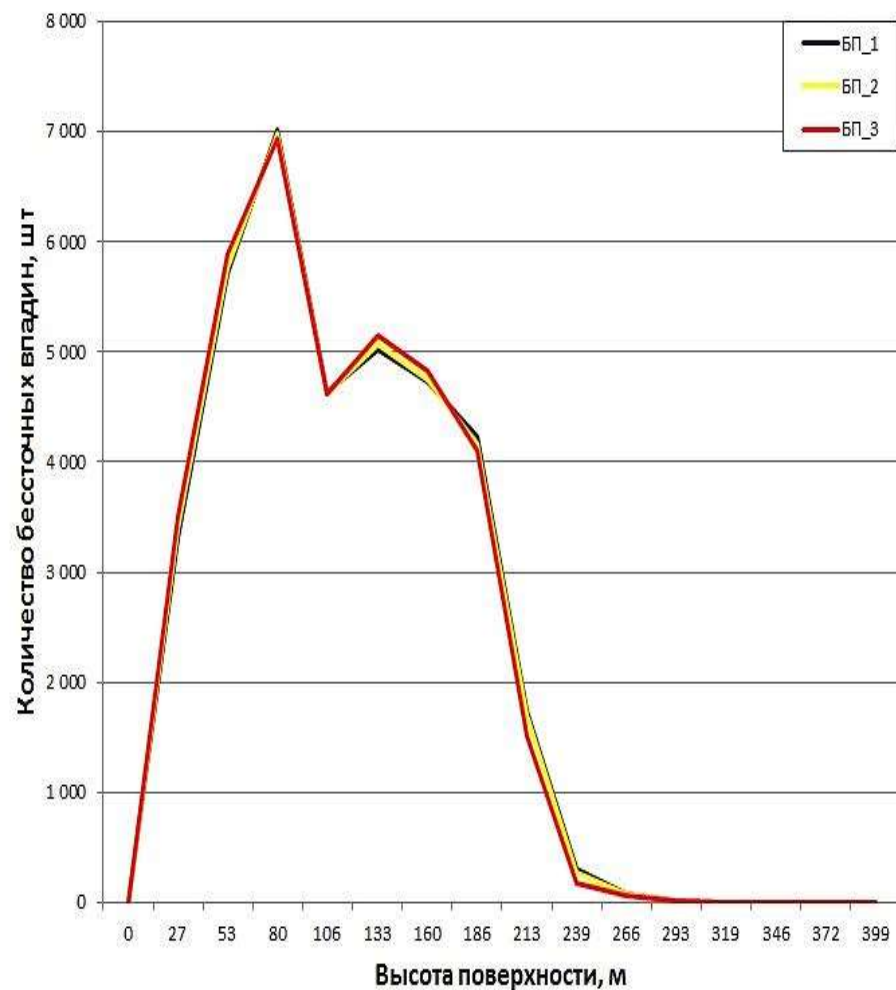




Количество бессточных впадин от приращения разностных поверхностей

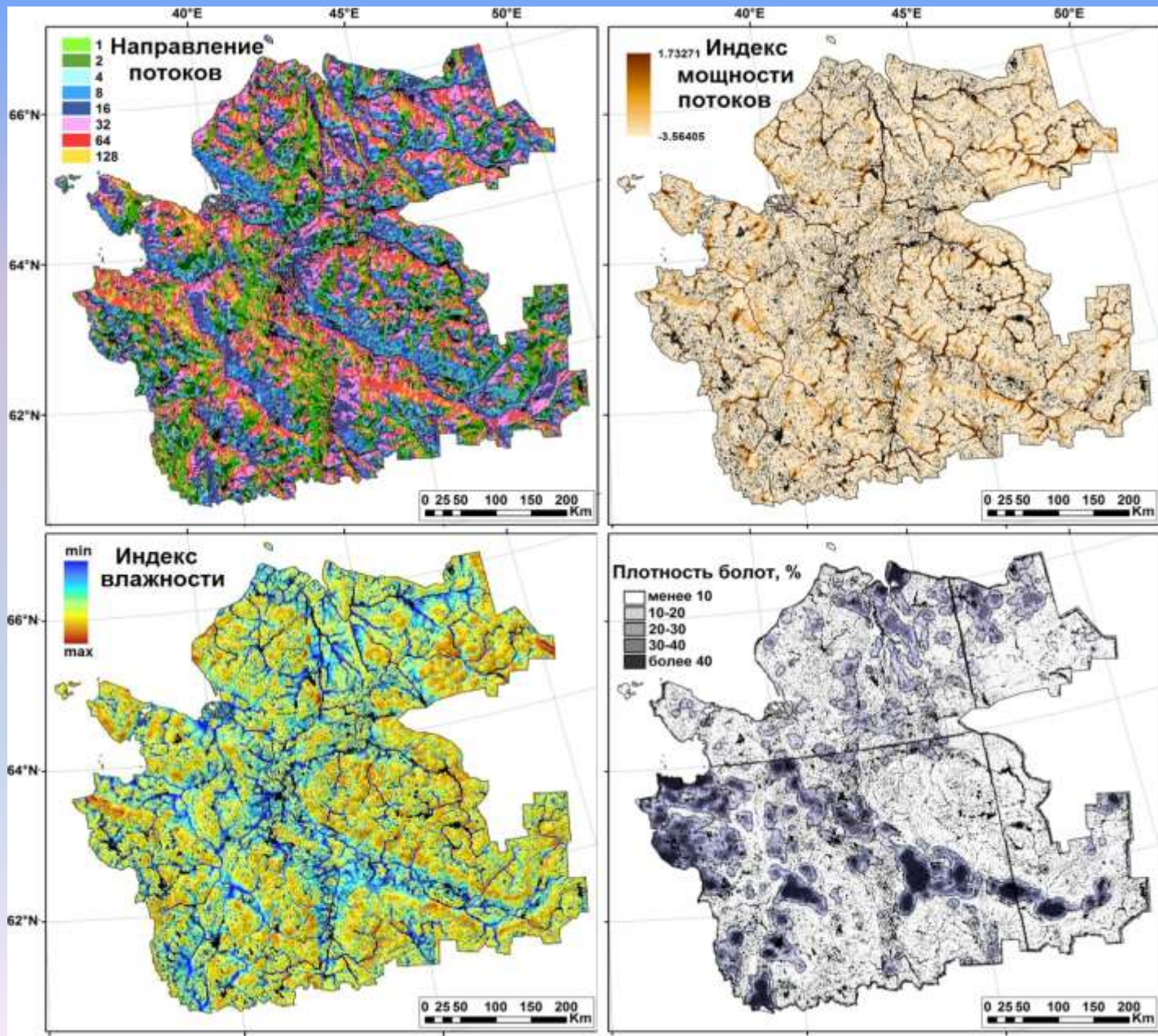


Количество бессточных впадин от высоты базисных поверхностей



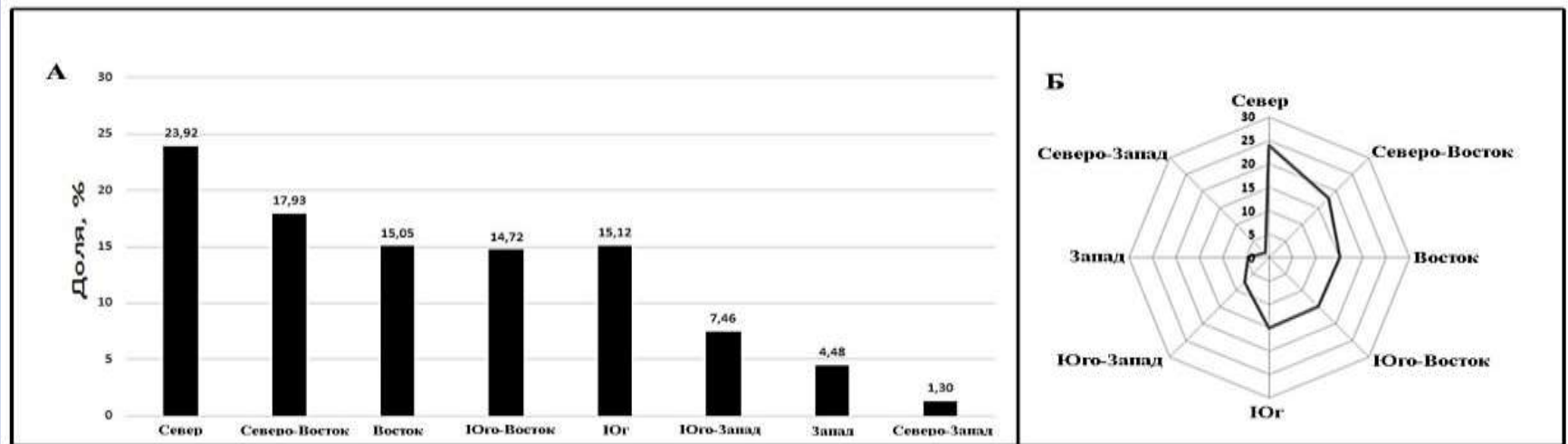
Наиболее глубокие впадины пространственно совпадают с поймами крупных рек и обусловлены, скорее всего, наличием стариц, а не артефактами модели (во всяком случае частично).

Сопоставление с гидрологическими параметрами и плотностью болот



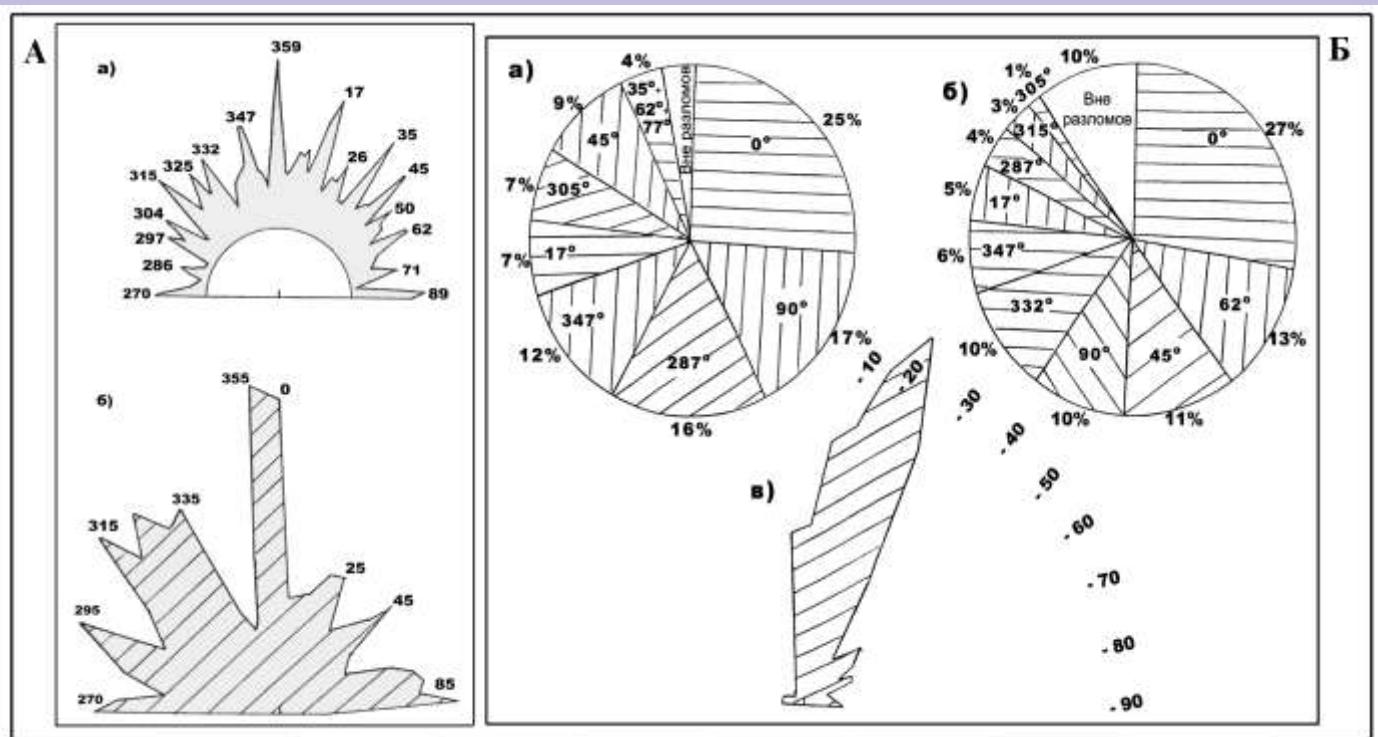
Статистическая характеристика направления потоков

Направление потока	Количество ячеек	Процент
Север	53934145	23,92
Северо-Восток	40430296	17,93
Восток	33935944	15,05
Юго-Восток	33196369	14,72
Юг	34088085	15,12
Юго-Запад	16825168	7,46
Запад	10111101	4,48
Северо-Запад	2925666	1,32
Общее количество ячеек ЦМР	344650349	100
Общее количество ячеек с потоками	225446774	65,41



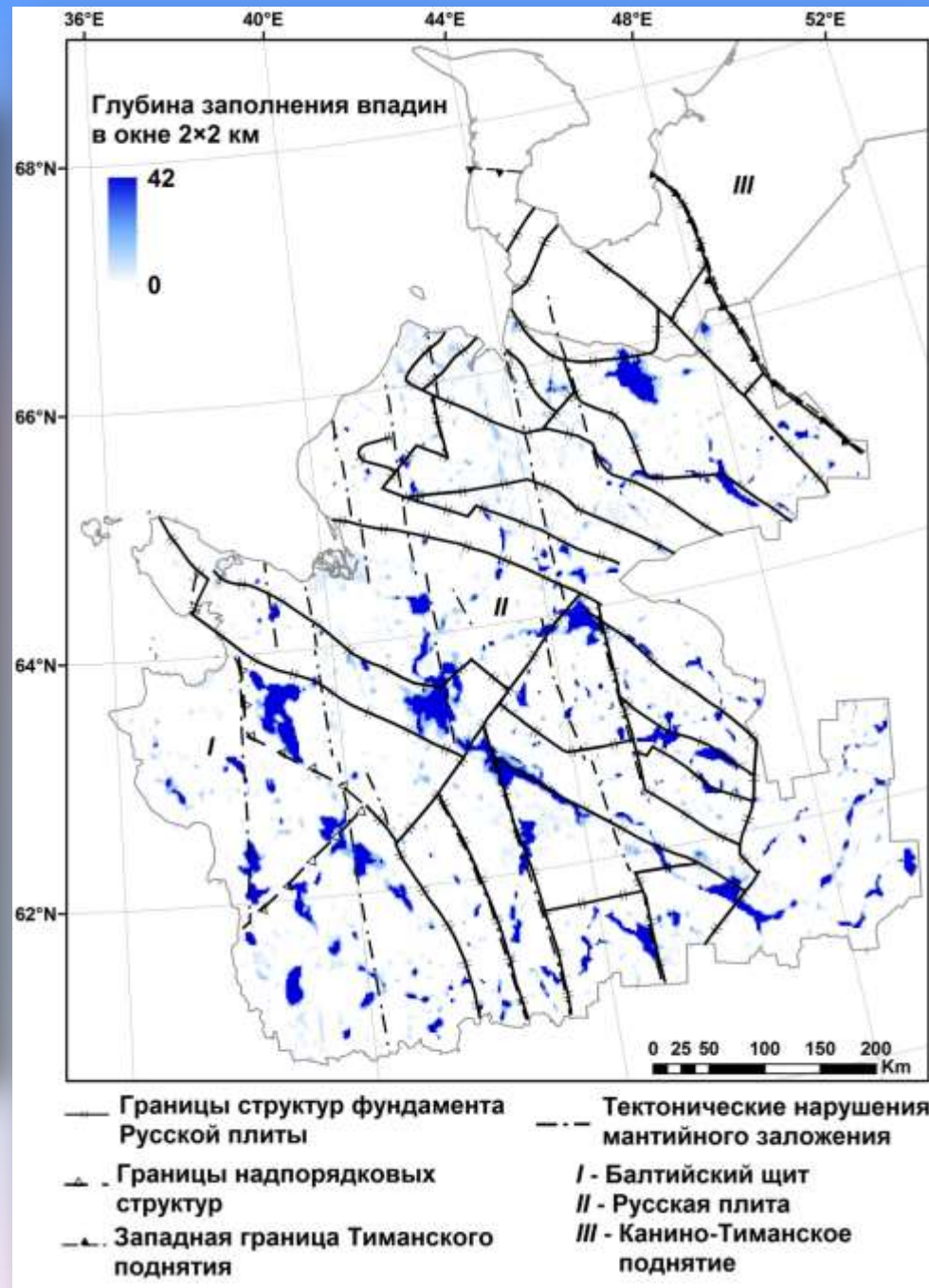
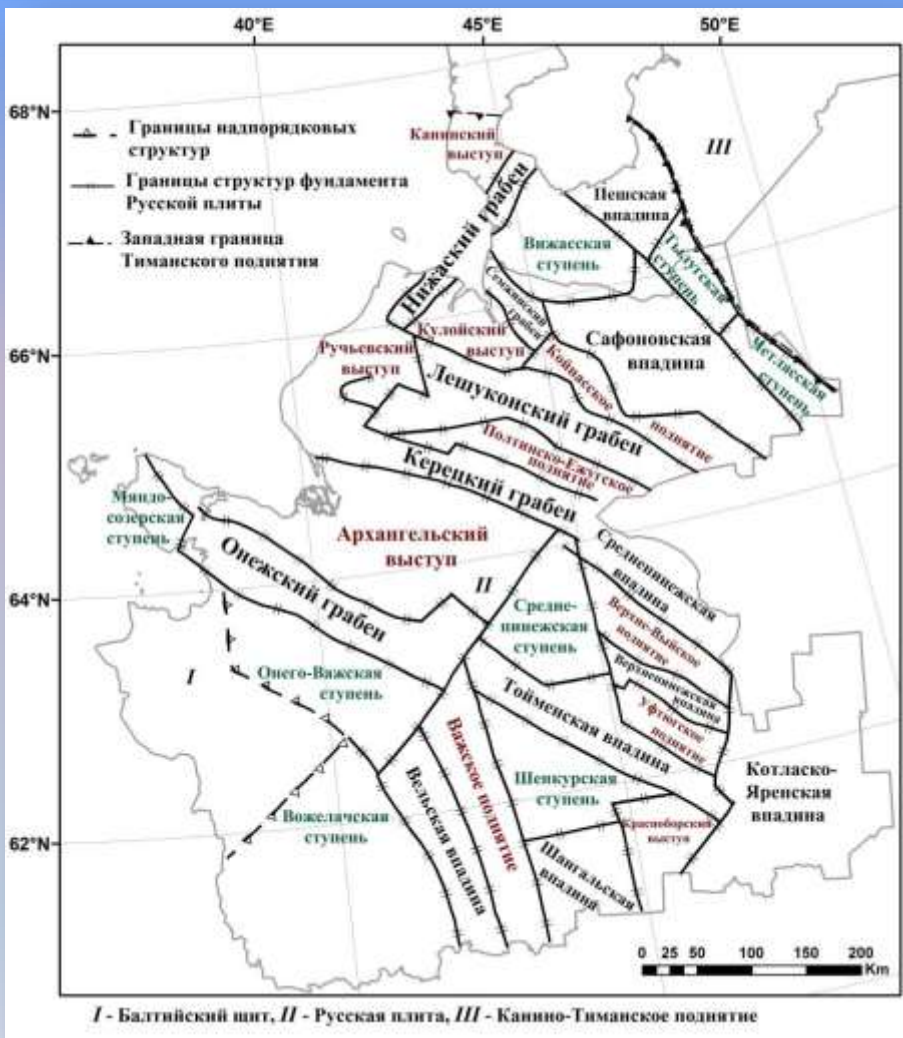
Направление потоков можно использовать для оценки простираения впадин и их соответствия тектоническим структурам.

Полученный вывод по преобладающему простиранию достаточно интересен не только с геоэкологической точки зрения, но и с геологической. Так, проведенный в работах (Кутинов, Чистова, 2004; Кутинов и др., 2012; Кутинов и др., 2020) анализ показал такое доминирующее меридиональное простирание границ вендских отложений на территории Юго-Восточного Беломорья, в парных направлениях трубок взрыва и их статистических параметрах

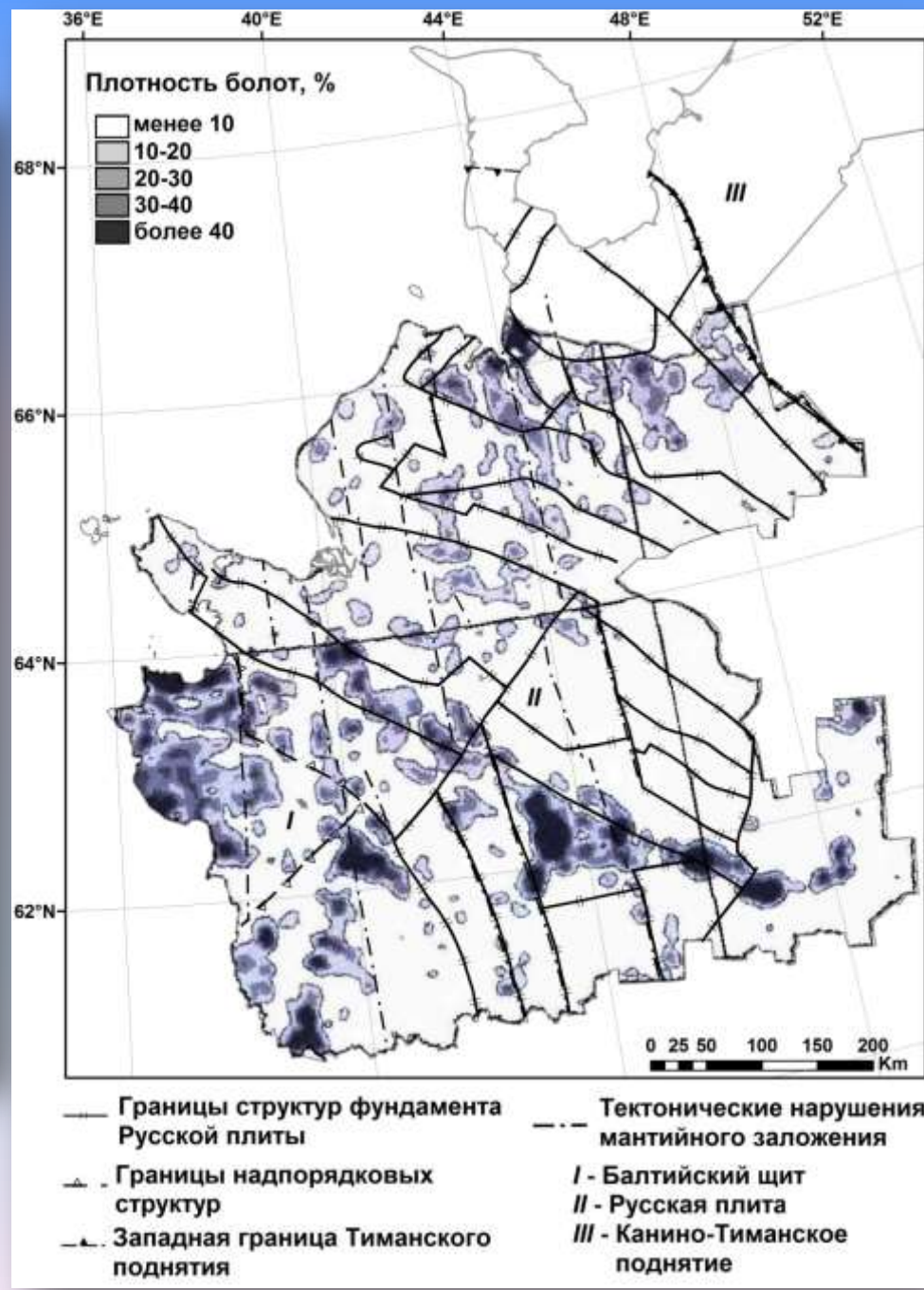
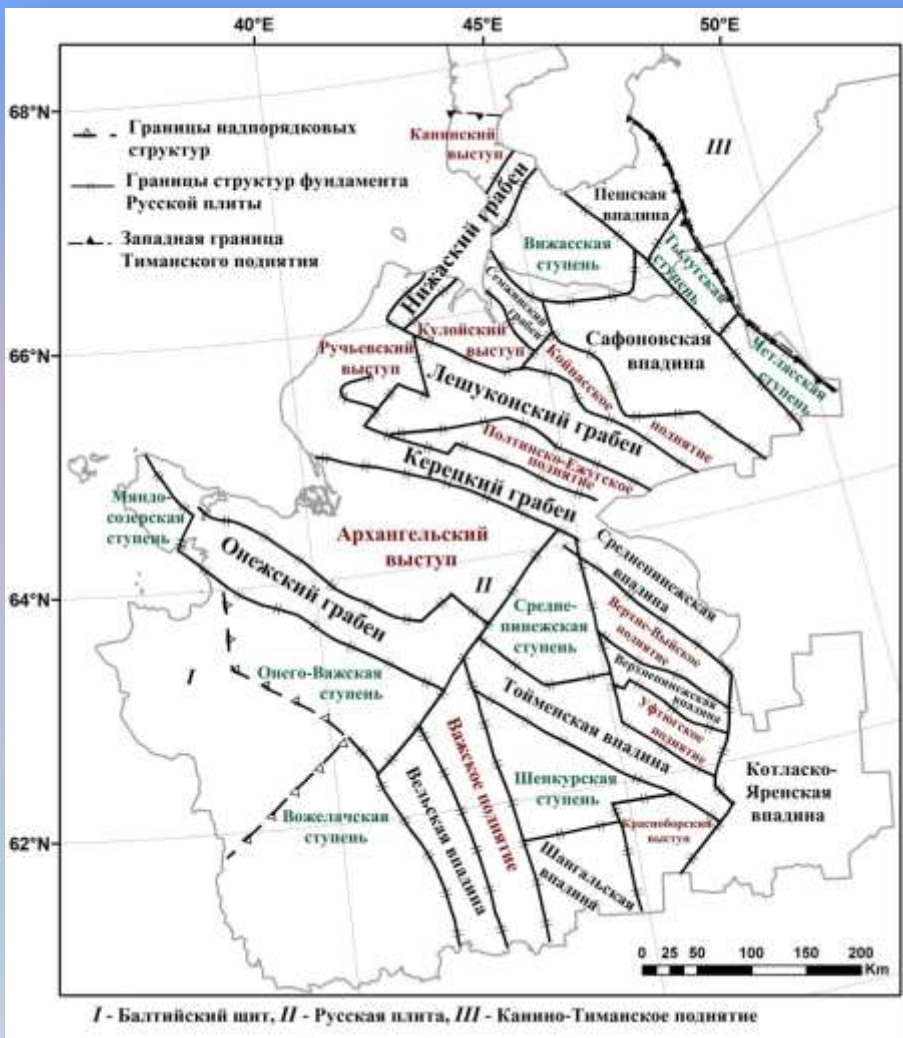


А – розы-диаграммы:
 а) спрямленных отрезков геологических границ вендских отложений; б) парных направлений трубок взрыва;
 Б – частоты встречаемости трубок взрыва: а) в региональных; б) в локальных разломах; в) роза-диаграмма ориентировки длинных осей трубок взрыва

Совпадение доминирующих простираний бессточных впадин с параметрами пространственного распространения трубок взрыва и их приуроченности к разломам позволяет сделать вывод о роли тектонических структур, переживших герцинский этап активизации.



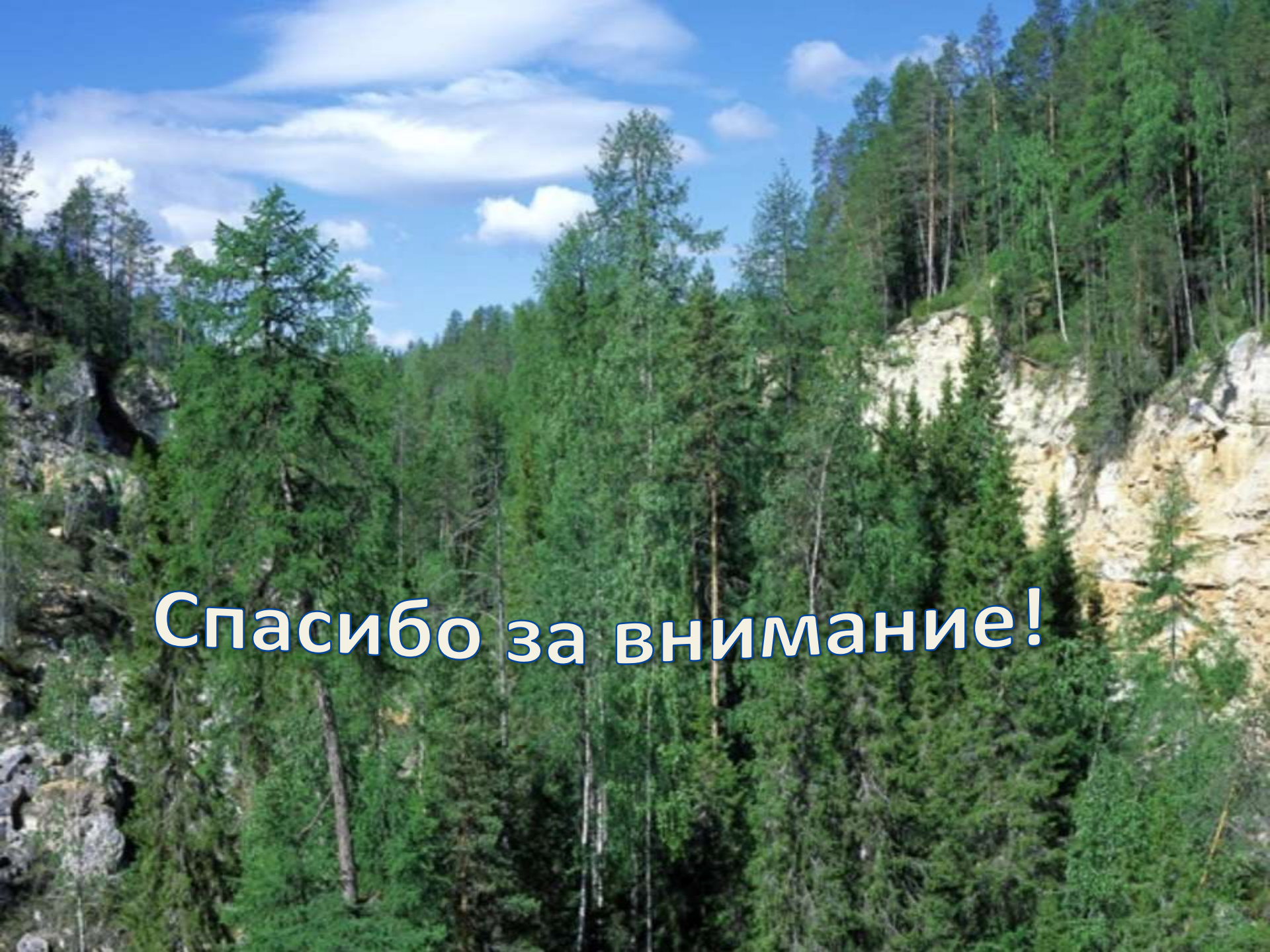
Основные структуры фундамента Русской плиты (в границах Архангельской области)



Основные структуры фундамента Русской плиты (в границах Архангельской области)

Выводы:

1. Несомненно, в связи с труднодоступностью северных территорий из-за отсутствия дорог и развитой инфраструктуры, геоморфометрический анализ цифровой модели рельефа является достаточно информативным инструментом при выделении участков вероятной активизации карстового процесса.
2. Наиболее глубокие впадины пространственно совпадают с поймами крупных рек и обусловлены, скорее всего, наличием стариц, а не артефактами модели (во всяком случае, частично).
3. Такой показатель, как направление потоков можно также использовать для оценки простираения впадин и их соответствия тектоническим структурам.

A scenic view of a forest on a rocky hillside. The foreground and middle ground are filled with dense, green coniferous trees. In the background, a rocky cliff face is visible, partially covered by more trees. The sky is bright blue with scattered white clouds. The overall atmosphere is peaceful and natural.

Спасибо за внимание!